

関東学院大学 北野 義則
九州大学 須谷 陽一

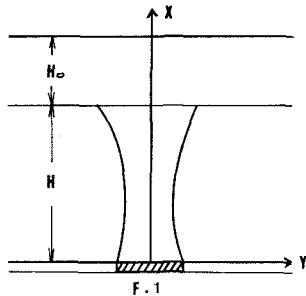
1. まえがき

下水処理場を設計するにあたり、処理場敷地の面積および形状等により処理施設の形状や構造が検討され、選定される。従来一般に行なわれてゐるアレーニュータンクの水深は5m前後であるが、深層アレーニュータンクは水深を10m位まで深くしてアレーニュタンク方式である。敷地のより効率的利用を目的として採用されてゐる。水圧を考慮して線源からの気泡噴流では上昇に伴う流速は減少するが、噴流幅のひろかり角度は上昇につれて下さくなる。実際のアレーニュータンクにおいては線源として気泡を発生させることなく、ある幅とともに散気装置から気泡を発生させてゐる。この報告は水圧を考慮してかつ幅とともに散気装置から発する気泡噴流について検討したものである。

2. 理論

図1のように2次元気泡噴流の主運動方向に沿ってX軸ととり、それに直交してY軸をとる。自由表面より散気装置までの水深をH、大気圧と同じ水圧を測るH₀とする。散気装置の深さにおける圧力のととのい空気の密度ρ₀および気泡密度をρ_Hとする。気泡の深さでのそれそれに対するものとρ_xとすると $m = \rho_0 P_x = \rho_H P_H$ (1)

従って容積変化を伴う気泡噴流に対して、次の流体運動式および気泡運動式



$$U \frac{\partial U}{\partial X} + V \frac{\partial U}{\partial Y} = \frac{\partial}{\partial Y} (U^2 \frac{\partial U}{\partial X}) + \rho_0 g \quad (2) \quad (U+W) \frac{\partial M}{\partial X} + V \frac{\partial M}{\partial Y} = \frac{\partial}{\partial Y} (U^2 \frac{\partial M}{\partial X}) \quad (3)$$

となり。

Wは気泡の相対速度である。またρ_Hとρ_xの間には $\rho_x = (H_0 + H) \rho_H / (H_0 + H - x)$ (4) が成立する。4) を用いれば

$$U \frac{\partial U}{\partial X} + V \frac{\partial U}{\partial Y} = \frac{\partial}{\partial Y} (U^2 \frac{\partial U}{\partial X}) + \frac{H_0 + H}{H_0 + H - x} \rho_H g \quad (5) \quad (U+W) \frac{\partial M}{\partial X} + V \frac{\partial M}{\partial Y} = \frac{\partial}{\partial Y} (U^2 \frac{\partial M}{\partial X}) \quad (6)$$

を得る。実用上、流速分布、気泡密度分布と誤差分布で十分近似できると思われるし、流速分布 $U = U_0 e^{-\frac{Y}{b}}$ 、
気泡密度分布 $\rho_H = \rho_0 e^{-\frac{Y^2}{a^2}}$ と仮定する。まことに喷流幅bは比例するとして $b = \varepsilon b$ とする。これらを用ひれば、(5),(6) が0次式および1次式-X上ととなる。(6) 徒書は2次元式で表示するため次のようにならへば置く。

$$2C = (H_0 + H)X, \quad b = \varepsilon^2 (H_0 + H)B, \quad A = \varepsilon^2 (H_0 + H)A \quad (7)$$

$$\rho_0 = w^2 S / g (H_0 + H), \quad U_0 = wU, \quad g = \varepsilon^2 w^3 Q / g$$

$$\sqrt{UB} \frac{dU}{dX} + \frac{1}{\sqrt{U}} U^2 \frac{dB}{dX} = \frac{AS}{1-X} \quad (8) \quad (\pi + 4) UB^2 \frac{dU}{dX} + (\pi + 2) BU^2 \frac{dB}{dX} = \sqrt{2\pi} BU^2 + 4 \frac{AS^2}{1-X} \quad (9)$$

$$\frac{BAS}{(B^2 + A^2)^{1/2}} \frac{dU}{dX} + \frac{A^3}{(B^2 + A^2)^{3/2}} US \frac{dB}{dX} + \left\{ 1 + \frac{B^2 U}{(B^2 + A^2)^{1/2}} \right\} S \frac{dA}{dX} + \left\{ 1 + \frac{BU}{(B^2 + A^2)^{1/2}} \right\} A \frac{dS}{dX} = 0 \quad (10)$$

$$\left(\tan^{-1} \frac{A}{B} + \frac{BA}{B^2 + A^2} \right) SB \frac{dU}{dX} + \left\{ \tan^{-1} \frac{A}{B} + \frac{BA(A^2 - B^2)}{(B^2 + A^2)^2} \right\} SU \frac{dB}{dX} + 2 \left\{ 1 + \frac{B^2 U}{(B^2 + A^2)^{1/2}} \right\} S \frac{dA}{dX} + \left\{ 1 + \frac{BU}{(B^2 + A^2)^{1/2}} \right\} A \frac{dS}{dX} = 2\sqrt{\pi} \frac{B^2 US}{(B^2 + A^2)^{3/2}} \quad (11)$$

(10) は種々の2次元量を含む式 $\alpha = \sqrt{\pi} AS \left[1 + BU / (B^2 + A^2)^{1/2} \right]$ (12) となる。以上の方程式を用ひて数値計算を行なうわけであるが、散気装置から噴出位置Eをとると $X=0$ で $U=0$ の点は特異点である。

$$U = U_0 X^k + \dots : B = B_0 + B_1 X^k + \dots : A = A_0 + A_1 X^k + \dots : S = S_0 + S_1 X^k + \dots \quad (13)$$

(13) を各式に代入して整理すれば次の関係式を得る。

$$U_1 = 1.0036448 (Q/A_0)^{1/2} : B_0 = 0.7920998 \cdot 40 : B_1 = -0.3116313 (QA_0)^{1/2}$$

$$A_1 = -0.4799582 (A_0 Q)^{1/2} : S_0 = 0.5641895 (Q/A_0) : S_1 = -0.080804 (Q/A_0)^{1/2} \quad (14)$$

但し、任意の A_0, Q は計算で数値計算を行うこととする。

3. 考察

図 2-5 に $Q=1, 10$ の流速、流速幅、気泡密度幅、気泡密度分布について示す。図 6-9 は散気板幅による違いを示したものである。流速は浮力の増大により加速される。初期の加速は主に散気板幅の影響であり、その後加速は容積変化が主であると考えられる。噴流幅は流速の増加に伴ない一時減少するが、再び後の後増大する。気泡分布幅は噴流幅と類似の現象となるが、初期に噴流幅より大きいが途中でその大きさが逆となる。気泡密度は始める点より始まり上昇とともに減少する。

